

К.73

10

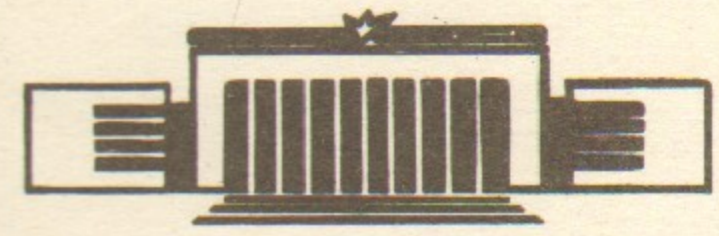


ИНСТИТУТ ЯДЕРНОЙ ФИЗИКИ СО АН СССР

И.А.Котельников

ВЛИЯНИЕ СТАЛИ В СТРОИТЕЛЬНЫХ
КОНСТРУКЦИЯХ НА МАГНИТНОЕ ПОЛЕ В
ФИЗИЧЕСКИХ УСТАНОВКАХ

ПРЕПРИНТ 84-17



НОВОСИБИРСК

ВЛИЯНИЕ СТАЛИ В СТРОИТЕЛЬНЫХ КОНСТРУКЦИЯХ
НА МАГНИТНОЕ ПОЛЕ В ФИЗИЧЕСКИХ УСТАНОВКАХ

Котельников И. А.

А Н Н О Т А Ц И Я

Изложены сведения, необходимые для оценки величины искажений магнитного поля, создаваемых в экспериментальных физических установках стальными и железобетонными строительными конструкциями. Описан простой способ оценки коэффициента размагничивания длинных балок с сечением различной формы.

№ п/п	Наименование	Материал	Сечение	Длина	Коэффициент размагничивания
1	Балка	Сталь	Круглая	1000	0,01
2	Балка	Железобетон	Круглая	1000	0,02
3	Балка	Сталь	Квадратная	1000	0,01
4	Балка	Железобетон	Квадратная	1000	0,02
5	Балка	Сталь	Овальный	1000	0,01
6	Балка	Железобетон	Овальный	1000	0,02

В в е д е н и е

Проведение ряда экспериментов на крупных физических установках налагает жесткие требования на точность соответствия реально полученного магнитного поля расчетному. Поэтому даже небольшие искажения поля, возникающие в результате намагничивания окружающих установку металлических строительных конструкций, могут оказаться недопустимыми. В настоящем сообщении проводится оценка величины указанных искажений.

Если магнитное поле установки является импульсным, оно наводит магнитный момент как в конструкциях из магнитных материалов (сталь), так и из немагнитных (медь, нержавеющая сталь), но, разумеется, при не слишком малой длительности импульса роль последних незначительна. Поэтому во всех численных примерах будет полагаться, что магнитная проницаемость материала конструкций $\mu = 10^3$. Величина магнитного поля H_0 , намагничивающего конструкции, зависит от конкретных условий эксперимента. Вполне реальным является значение $H_0 = 10^2$ Э, сравнимое с коэрцитивной силой H_C большинства материалов (см. таблицу I). Поэтому процесс намагничивания конструкций оказывается нелинейным, и после выключения магнитного поля установки они останутся намагниченными. Однако для простоты процесс намагничивания будет считаться линейным. Простые методы оценки величины поля, создаваемого остаточным намагничиванием конструкций можно найти, например, в книге [1].

Таблица I. Свойства ферромагнитных материалов

	коэрцитивная сила $H_C, \text{Э}$	индукция насыщения $B_H, \text{кГс}$	остаточная индукция $B_0, \text{Гс}$	магнитная проницаемость μ
"мягкие" ферромагнетики	I	8-20	100	10^2
"жесткие" ферромагнетики	500	20	5000	10^4+10^6

Порядок дальнейшего изложения определяется следующим перечнем:

I. Цельнометаллическая балка в магнитном поле.

- I.1. Бесконечный цилиндр.
 - I.2. Цилиндр конечной длины. Коэффициент размагничивания.
 - I.3. Двутавровая балка.
 - I.4. Полый цилиндр.
2. Железобетонная балка в магнитном поле.
 3. Основные выводы.

I. Цельнометаллическая балка в магнитном поле

Магнитное поле удовлетворяет уравнениям

$$\operatorname{div} \vec{B}_e = 0, \quad \operatorname{rot} \vec{H}_e = 0, \quad \vec{B}_e = \vec{H}_e$$

вне балки и

$$\operatorname{div} \vec{B}_i = 0, \quad \frac{\partial \vec{H}_i}{\partial t} = \frac{c^2}{4\pi\sigma\mu} \Delta \vec{H}_i, \quad \vec{B}_i = \mu \vec{H}_i$$

внутри неё. Здесь σ - проводимость, μ - магнитная проницаемость материала балки. На её поверхности непрерывна тангенциальная составляющая напряженности \vec{H} и нормальная составляющая индукции поля \vec{B} .

I.1. Бесконечный цилиндр.

Указанные уравнения имеют точное решение, если балка представляет собой круглый цилиндр бесконечной длины (см., например, [2], с.288). Пусть имеется осциллирующее магнитное поле $\vec{H}_0 \exp(-i\omega t)$ (для краткости множитель $\exp(-i\omega t)$ далее опускается), перпендикулярное оси цилиндра. Тогда

$$\vec{H}_e = \vec{H}_0 + 2 [2\vec{n}(\vec{n} \cdot \vec{m}_\perp) - \vec{m}_\perp] / \rho^2, \quad (1)$$

где $\vec{n} = \vec{\rho} / \rho$ - двумерный вектор, перпендикулярный оси. Магнитный момент направлен вдоль \vec{H}_0 и, если $\mu - 1 > 1$, его модуль вне зависимости от частоты ω и магнитной проницаемости μ приблизительно равен

$$|m_\perp| \sim \frac{1}{2} \rho_0^2 H_0, \quad (2)$$

где ρ_0 - радиус цилиндра.

Если \vec{H}_0 параллельно оси, вне цилиндра поле однородно, $\vec{H}_e = \vec{H}_0$, а внутри - выражается через функцию Бесселя J_0 :

$$\vec{H}_i = \vec{H}_0 J_0(k\rho) / J_0(k\rho_0),$$

где $k = (1+i)/\delta$, $\delta = c / (2\pi\sigma\mu\omega)^{1/2}$ - толщина скин-слоя. Величина магнитного момента на единицу длины m_\parallel с точностью до коэффициента совпадает с разностью между магнитным потоком через сечение цилиндра и потоком через такое же воображаемое сечение в отсутствие цилиндра

$$\Delta\Phi \equiv \int B_i dS - \pi\rho_0^2 H_0 = 4\pi m_\parallel. \quad (3)$$

В частности,

$$m_\parallel = (\mu - 1) \rho_0^2 H_0 / 4 \quad \text{при } \delta > \rho_0,$$

$$m_\parallel = [-1 + (1-i)\mu\delta/\rho_0] \rho_0^2 H_0 / 4 \quad \text{при } \delta < \rho_0. \quad (4)$$

I.2. Цилиндр конечной длины. Коэффициент размагничивания.

Цилиндр конечной длины искажает магнитное поле даже в случае, когда \vec{H}_0 параллельно его оси. Действительно, избыточный поток (3), выходя через торцевую поверхность, создает дополнительное поле ΔH , которое приблизительно равно полю магнитного заряда величиной $\Delta\Phi$, расположенного на конце цилиндра:

$$\Delta H \sim \Delta\Phi / \pi r^2,$$

где r - расстояние от торца. Внутри цилиндра, вдоль его оси, поле также станет неоднородным, причем масштаб неоднородности d можно оценить как расстояние, на котором ΔH сравнивается с H_0 :

$$d \sim (\Delta\Phi / \pi H_0)^{1/2}. \quad (5)$$

В частности, если частота ω не очень велика, так что $\delta > \rho_0$, то при $\mu \gg 1$ масштаб неоднородности $d \sim \sqrt{\mu} \rho_0$ во много раз больше радиуса цилиндра.

Если длина цилиндра l оказывается меньше, чем d , то его магнитный момент становится меньше предсказываемого формулой (4). Это обстоятельство учитывает, вводя коэффициент размаг-

ничивания I) $n_{||}$:

$$m = m_{||} \ell / (1 + n_{||}), \quad (6)$$

где $m_{||} \ell$ - дипольный момент неразмагниченного цилиндра. Размагничивание становится заметным, когда $n_{||} > 1$ - с одной стороны и $\ell < d$ - с другой, а так как при сильном размагничивании m не может зависеть от магнитных свойств материала²⁾ цилиндра, то

$$n_{||} \sim (d/\ell)^2. \quad (7)$$

Действительно, тогда из (6) следует, что $m \sim \ell^3 H_0$.

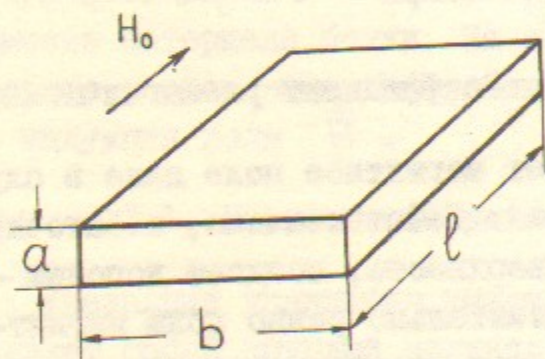


Рис. I

Все сказанное переносится на случай, когда цилиндр не обязательно круглый. Например, если плоскопараллельная пластинка размерами $a < b < \ell$ находится в магнитном поле \vec{H}_0 , параллельном её самому длинному ребру ℓ (см. рис. I), то её магнитный момент можно оценить следующим образом:

$$\vec{m} \approx (\mu - 1) a b \ell \vec{H}_0 / 4\pi (1 + (\mu - 1) a b / \ell^2) \quad \text{при } \delta > a,$$

$$|\vec{m}| \approx \mu b \ell \delta \cdot H_0 / 4\pi (1 + \mu b \delta / \ell^2) \quad \text{при } a/\mu < \delta < a, \quad (8)$$

$$\vec{m} \approx - a b \ell \vec{H}_0 / 4\pi (1 + a b / \ell^2) \quad \text{при } \delta < a/\mu.$$

- 1) Определение (6) коэффициента размагничивания несколько отличается от общепринятого (см., например, [2], с. 63 [3], с. 670). Следует отметить, что коэффициент размагничивания зависит от направления намагничивания, и, строго говоря, является тензором.
- 2) Если магнитное поле перпендикулярно оси цилиндра, то размагничивание всегда велико, и, как уже было отмечено (см. (2)), величина m_{\perp} практически не зависит от ϵ и μ .

Устремляя b к ℓ (предварительно поделив m на b), отсюда можно найти магнитный момент m_1 на единицу длины бесконечной полосы ($b = \infty$):

$$\vec{m}_1 \approx (\mu - 1) a \ell H_0 / 4\pi (1 + (\mu - 1) a / \ell) \quad \text{при } \delta > a,$$

$$|\vec{m}_1| \approx \mu \ell \delta H_0 / 4\pi (1 + \mu \delta / \ell) \quad \text{при } a/\mu < \delta < a, \quad (9)$$

$$\vec{m}_1 \approx - a \ell H_0 / 4\pi (1 + a / \ell) \quad \text{при } \delta < a/\mu.$$

Возмущение магнитного поля, создаваемое цилиндром или пластинкой, по порядку величины равно

$$\Delta H \sim m / r^3 \quad \text{при } r > \ell, \quad (10)$$

$$\Delta H \sim m / \ell r^2 \quad \text{при } b < r < \ell.$$

Если же $b > \ell$, то вместо (10) нужно использовать следующие формулы:

$$\Delta H \sim m_1 / r^2 \quad \text{при } \ell < r < b, \quad (11)$$

$$\Delta H \sim m_1 / \ell r \quad \text{при } a < r < \ell.$$

I.3. Двутавровая балка

Если \vec{H}_0 перпендикулярно балке, величина модуля её магнитного момента практически не зависит от частоты и магнитной проницаемости. Пусть, например, \vec{H}_0 направлено вдоль оси y (см. рис. 2). Тогда при $\delta < a$ силовые линии не могут пересекать полосу 2, и поле выталкивается из целой трубки сечением приблизительно $b \times b$, а не только из объема балки. Поэтому $m_y \sim b^2 H_0$. Если частота ω невелика, так что $\delta > a$, то основной вклад в магнитный момент m_y дают полосы I, 3. Обычно $n \sim \mu a / b > 1$, поэтому, как показано в предыдущем пункте, вновь оказывается, что $m_y \sim b^2 H_0$. Аналогичным способом оценивается m_x . Таким образом, вне зависимости от частоты и магнитной проницаемости магнитный момент двутавровой балки (на единицу длины) приблизительно равен

$$|m_x| \sim b^2 H_{0x}, \quad |m_y| \sim b^2 H_{0y}.$$

Величина возмущения поля $\Delta H \sim m_{x,y} / r^2$ на расстоянии $r = 3$ м от балки равна 3 Э, если принять, что $H_0 = 100$ Э, $b = 50$ см.

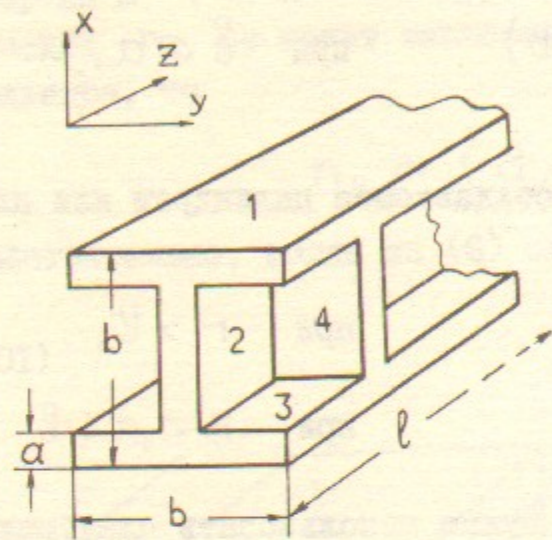


Рис. 2

перечный размер $b = 50$ см, $\sigma = 5 \cdot 10^{16}$ сек⁻¹, $H_0 = 100$ Э, $\mu = 10^2 + 10^3$.

$\omega, \text{сек}^{-1}$	$\mu = 10^2$			$\mu = 10^3$		
	$\delta, \text{см}$	$n_{ }$	$\Delta H, \text{Э}$	$\delta, \text{см}$	$n_{ }$	$\Delta H, \text{Э}$
0.1	17	0.2	50	5	2	160
1.0	5	0.2	50	1.7	1	140
10	1.7	0.1	30	0.5	0.3	60
100	0.5	0.03	10	0.17	0.1	25
1000	0.17	0.01	3	0.05	0.03	10

Относительно приведенных в таблице значений ΔH необходимо сделать два замечания. Первое связано с тем, что при $\mu = 10^3$, $H_0 = 10^2$ Э индукция магнитного поля в балке $B_i \approx \mu H_0$ формально оказывается больше, чем даже индукция насыщения жестких ферромагнетиков, используемых для создания постоянных магнитов,

поэтому оценка ΔH при $\mu = 10^3$ завышена. Второе замечание касается случая высоких частот. При $\delta < a$ значительный вклад в магнитный момент дают ребра жесткости (на рисунке 2 они отмечены цифрой 4). Если они имеются, $\vec{m} \rightarrow -\ell b^2 H_0 / 4\pi$ при $\omega \rightarrow \infty$.

1.4. Полный цилиндр

Прежде чем переходить к рассмотрению искажений магнитного поля, создаваемых арматурой железобетонной балки, полезно оценить время проникновения поля в полный цилиндр - трубу, так как в предельном случае, когда элементы арматуры расположены очень близко друг к другу, возмущения, создаваемые трубой и арматурой, должны совпадать.

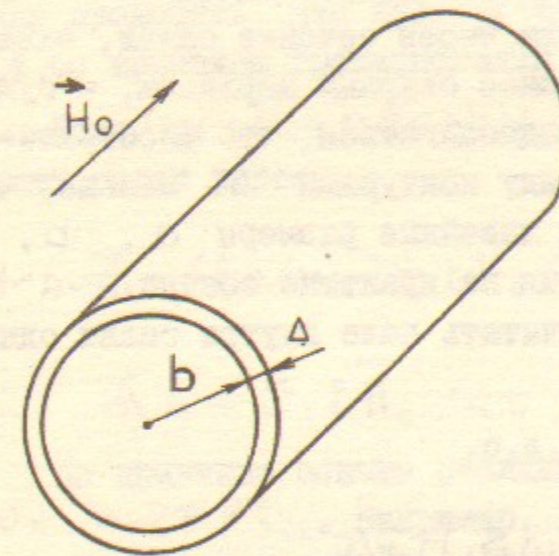


Рис. 3

$\sim (\mu \Delta / b) H_0$. Если $\mu \Delta / b \ll 1$, то $\Delta H \ll H_0$, поэтому время проникновения поля в трубу в $H_0 / \Delta H$ раз больше скин-вого $\tau_{ск}$ и не зависит от μ :

$$\tau \sim 4\pi^2 \sigma b \Delta / c^2. \quad (12)$$

Однако, если $\mu \Delta / b \geq 1$, то это время равно $\tau_{ск}$.

2. Железобетонная балка в магнитном поле

Сильнее всего балка искажает поле тогда, когда она ориенти-

рована вдоль \vec{H}_0 (см. рис. 4). В этом случае так же, как в пункте I.2, можно ввести понятие избыточного потока $\Delta\phi$ и для оценки ΔH воспользоваться формулами (8), (10). Величина $\Delta\phi$ складывается из двух частей: потока через элементы арматуры (стержни), параллельные \vec{H}_0 , и потока через контура, образованные элементами арматуры, перпендикулярными \vec{H}_0 . Не останавливаясь на вычислении первой части избыточного потока, следует отметить, что коэффициент размагничивания стержня в каркасе зависит от взаимного расположения стержней. При вычислении второй части $\Delta\phi$ — потока через сечение балки, охватываемое сварным каркасом, — будет предполагаться, что расстояние между контурами Δ меньше, чем их линейные размеры a , b , хотя на практике обычно $\Delta \sim a \sim b$.

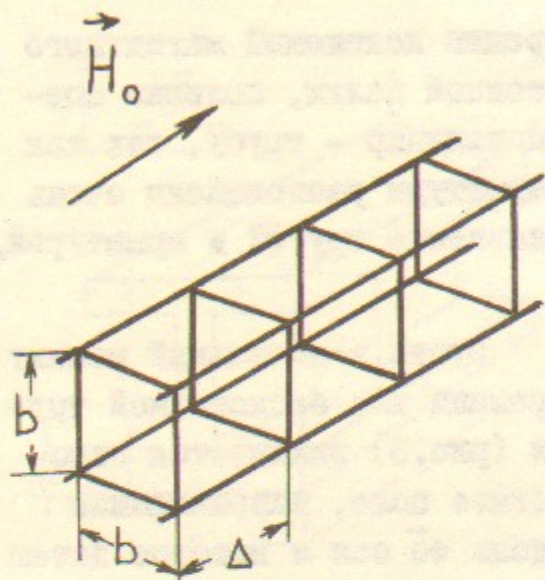


Рис. 4

Указанное приближение позволяет считать поле внутри балки однородным.

На одном контуре наводится э.д.с.

$$\varepsilon_1 = -S_1 \dot{H}_0 / c = i\omega S_1 H_0 / c,$$

где $S_1 = ab$ — сечение контура. Ток в контуре зависит как от его сопротивления $R_1 = \rho_1 / \pi \rho_0^2 \sigma$ (ρ_0 — радиус стержня арматуры, $\rho_1 = 2(a+b)$ — периметр контура), так и от коэффициента взаимной индукции $L = 4\pi S_1 / \Delta$ данного контура с остальными:

$$J_1 = \varepsilon_1 / (R_1 - i\omega L / c^2).$$

Индукцированный внешним полем ток J_1 создает собственное магнитное поле

$$H_1 = 4\pi J_1 / c \Delta.$$

Полное поле

$$H = H_0 + H_1 = R_1 H_0 / (R_1 - i\omega L / c^2)$$

становится значительно меньше, чем H_0 , когда R_1 сравнивается с $\omega L / c^2$. Это происходит на частоте

$$\omega_* = (a+b) c^2 \Delta / 2\pi^2 ab \rho_0^2 \sigma.$$

Если $\mu > 4\pi ab / (a+b)\Delta$, то формально оказывается, что $\omega_* / 2\pi$ больше, чем обратное время $\tau_{ск}^{-1} = c^2 / 4\pi^2 \sigma \mu \rho_0^2$ проникновения поля в стержень. В действительности, однако, при $\omega > 2\pi / \tau_{ск}$ поле не проникает внутрь каркаса, так как оно "зацепляется" за стержни арматуры. Поэтому найденное выше выражение для ω_* справедливо, если только $\omega_* < 2\pi / \tau_{ск}$. Именно по этой причине сопротивление контура R_1 считалось выше чисто активным. Можно проверить, что при $\Delta \rightarrow \rho_0$ величина $2\pi / \omega_*$ совпадает со временем проникновения поля в тонкостенную трубу (12).

Если $\mu < 4\pi ab / (a+b)\Delta$, т.е. $\omega_* < 2\pi / \tau_{ск}$, магнитный момент балки равен

$$\vec{m} = (i\omega / \omega_*) S_1 \ell \vec{H}_0 / 4\pi \quad \text{при } \omega < \omega_*,$$

$$\vec{m} = -S_1 \ell \vec{H}_0 / 4\pi \quad \text{при } \omega > \omega_*.$$

На практике обычно реализуется обратный предельный случай, $\omega_* > 2\pi / \tau_{ск}$. Например, при $\rho_0 = 1$ см, $a = b = 50$ см, $\Delta = 10$ см, $\mu = 10^3$, $\sigma = 5 \cdot 10^{16}$ сек⁻¹ оказывается, что $\omega_* = 400$ сек⁻¹, а скин-слоевое время $\tau_{ск} = 2$ сек больше, чем типичная длительность импульса магнитного поля в установке. Следовательно поле в железобетонную балку не проникает, поэтому $\vec{m} = -S_1 \ell \vec{H}_0 / 4\pi$, и на расстоянии $r = 3$ м от её конца $\Delta H = 0.3$ Э.

Основные выводы

1. Искажения магнитного поля, создаваемые балками, намагничиваемыми перпендикулярно своей оси, незначительны (сравнимы с полем Земли).

2. В импульсном режиме работы установки при длительности

импульсов $\tau \approx 0.1$ сек возмущения, создаваемые железобетонной и цельнометаллической (с ребрами жесткости) балками, одинаковыми.

Автор благодарен Д.Д.Ритову за активный интерес к работе.

ЛИТЕРАТУРА

1. Мешков И.Н., Чириков Б.В. - Электромагнитное поле.: Новосибирск, НГУ, 1973, с.140.
2. Ландау Л.Д., Лифшиц Е.М. - Электродинамика сплошных сред.: М., Наука, 1982.
3. Бозорт Р. Ферромагнетизм.: М., изд-во иностранной литературы, 1956.

И.А.Котельников

ВЛИЯНИЕ СТАЛИ В СТРОИТЕЛЬНЫХ КОНСТРУКЦИЯХ
НА МАГНИТНОЕ ПОЛЕ В ФИЗИЧЕСКИХ УСТАНОВКАХ

Препринт
№ 84- I7

Работа поступила - 26 января 1984 г.

Ответственный за выпуск - С.Г.Попов

Подписано к печати 7.П-1984 г. МН 04062

Формат бумаги 60x90 I/16 Усл.0,9 печ.л., 0,8 учетно-изд.л.

Тираж 290 экз. Бесплатно. Заказ № I7.

Ротапринт ИЯФ СО АН СССР, г.Новосибирск, 90